



## رنگبری از پساب حاوی یک ماده رنگزای کاتیونی با استفاده از جاذب ارزان قیمت کائولن

علی رضا تهرانی بقاء<sup>۱</sup>، نیاز محمد محمودی<sup>۲</sup>، مجید مرکزی<sup>۳</sup>، الهه طلایی نژاد<sup>۴</sup>

۱- استادیار، گروه پژوهشی رنگ و محیط زیست، پژوهشگاه علوم و فناوری رنگ، تهران، ایران، صندوق پستی: ۱۶۷۶۵-۶۵۴

۲- دانشجوی دکترا، گروه پژوهشی رنگ و محیط زیست، پژوهشگاه علوم و فناوری رنگ، تهران، ایران، صندوق پستی: ۱۶۷۶۵-۶۵۴

۳- مریم، گروه رنگدانه‌های معدنی و لاباب، پژوهشگاه علوم و فناوری رنگ، تهران، ایران، صندوق پستی: ۱۶۷۶۵-۶۵۴

۴- کارشناس، گروه شیمی، دانشگاه آزاد اسلامی واحد تهران مرکزی، تهران، ایران، صندوق پستی: ۱۴۶۷۶۸۶۸۳۱

تاریخ دریافت: ۱۳۸۸/۹/۲۸      تاریخ پذیرش: ۱۳۸۸/۶/۱      در دسترس به صورت الکترونیکی از:

### چکیده

در این تحقیق، امکان استفاده از یک نمونه پودر معدنی ارزان قیمت (کائولن ایرانی) برای رنگبری از پساب حاوی رنگزای بازیک زرد ۲۸ (BY28) مورد مطالعه قرار گرفت. کائولن توسط روش‌های آنالیز دستگاهی توزیع اندازه ذرات PSA، میکروسکوپ الکترونی پویشی، پراش اشعه XRD (XRD)، اسپکتروسکوپی فلوروسنس اشعه X (XRF) مورد مطالعه قرار گرفت. تأثیر عوامل مختلف بر فرآیند جذب از جمله مقدار جاذب، غلظت ماده رنگزای در محلول، زمان تماس، حجم پساب، pH و حضور انواع الکتروولیت بررسی شد. نتایج نشان دادند که این جاذب معدنی توانایی بسیاری خوبی در جذب مواد رنگزای کاتیونی دارد و فرآیند جذب بسیار سریع می‌باشد. حضور انواع الکتروولیت و یا تغییر pH تأثیر زیادی بر فرآیند جذب و رنگبری ندارد. نتایج آزمایش‌ها نشان داد که فرآیند رنگبری تطابق خوبی با ایزوترم جذب لانگمیور دارد. فرآیند جذب BY28 بر روی کائولن از معادله سینتیکی شبه مرتبه دوم، تبعیت می‌کند که نشان می‌دهد فرآیند قابل کنترل به وسیله جذب شیمیایی است.

واژه‌های کلیدی: رنگبری، رنگزای کاتیونی، جاذب، کائولن، سینتیک، ایزوترم.

## Removal of a Cationic Dye from Wastewater by Low-cost Kaolin

A. R. Tehrani-Bagha<sup>\*1</sup>, N. M. Mahmoodi<sup>1</sup>, M. Markazi<sup>2</sup>, E. Talaee<sup>3</sup>

<sup>1</sup> Department of Environmental Research, Institute for Color Science and Technology, P.O.Box: 16765-654, Tehran, Iran

<sup>2</sup> Department of Glaze and Inorganic Pigments, Institute for Color Science and Technology, P.O.Box: 16765-654, Tehran, Iran

<sup>3</sup> Department of Chemistry, Islamic Azad University (IAU), P.O.Box: 1467686831, Tehran, Iran

### Abstract

This study investigated the potential use of a low-cost inorganic powder (Iranian kaolin) for removal of C.I. Basic Yellow 28 (BY28) from aqueous solution. Kaolin was characterized by laser particle size analyzer (PSA), scanning electron microscopy (SEM), X-ray diffraction (XRD) and X-ray fluorescence (XRF) techniques. The effect of adsorbent dosage, dye concentration, contact time, wastewater volume, initial pH and the presence of different electrolytes were studied. Experimental results revealed that kaolin is a very strong and fast adsorbent and the presence of different electrolytes and pH changes do not have a notable effect for cationic dye removal. The experimental data were correlated reasonably well by the adsorption isotherm of the Langmuir. It was found that the adsorption of BY28 on kaolin followed the pseudo-second order equation which indicates that the adsorption process is chemisorption controlled. J. Color Sci. Tech. 3(2009), 145-155 © Institute for Color Science and Technology.

**Keywords:** Dye removal, Cationic dye, Adsorbent, Kaolin, Kinetic, Isotherm.

\*Corresponding author: [tehrani@icrc.ac.ir](mailto:tehrani@icrc.ac.ir)

حمل می کند. کائولن ترکیبی نرم و سفید است که در صنایع سرامیک، پزشکی، کاغذ سازی، آرایشی، غذایی کاربرد دارد [۱۱، ۱۵].

در این تحقیق، حذف رنگزای کاتیونی بازیک زرد (BY28) ۲۸ به وسیله جاذب ارزان قیمت معدنی کائولن انجام شده است. تأثیر عوامل مؤثر چون pH پساب، مقدار غلظت جاذب، غلظت اولیه ماده رنگرا در محلول و حجم محلول اولیه مورد مطالعه قرار گرفته است. در نهایت ایزوتو姆 و سینتیک جذب BY28 بر روی کائولن مورد بررسی قرار گرفت و نتایج با سایر مراجع مقایسه شد.

## ۲-بخش تجربی

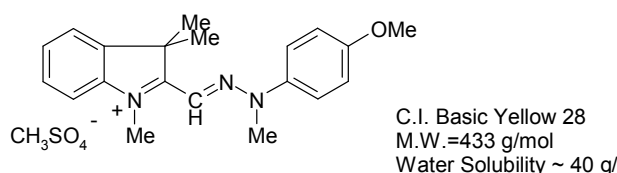
### ۱-۲ مواد

- کلرید سدیم، بی کربنات سدیم، کربنات سدیم، سولفات سدیم، اسید کلریدریک و هیدروکسید سدیم با درجه خلوص آزمایشگاهی از شرکت Merck تهیه شدند. نمونه معدنی کائولن پس از آمده سازی معمول انجام شده در شرکت صنایع خاک چینی ایران مورد استفاده قرار گرفت.

- رنگزای مورد استفاده بازیک زرد (BY28) ۲۸ با درجه خلوص آزمایشگاهی، سنتز شده در گروه مواد رنگزای آلی - پژوهشگاه علوم و فناوری رنگ بود (شکل ۱). این رنگزا دارای طول موج حداکثر جذب ۴۴۲ nm می باشد. برخی از خواص فیزیکی - شیمیایی آن در مراجع دیگر مورد اشاره قرار گرفته است [۱۶].

### ۲-۲ روش کار

برای بررسی فرآیند جذب و رنگبری از دستگاه جارتست مدل FC6S ساخت شرکت VELP و برای جداسازی ذرات معلق جاذب از نمونه های محلول قبل از جذب سنگی از دستگاه سانتریفیوژ مدل 20 EBA ساخت شرکت Hettich استفاده شد. یک pH متر دیجیتالی ساخت شرکت Hach برای اندازه گیری و تنظیم pH محلول مورد استفاده قرار گرفت. تعیین غلظت رنگزا در محلول از روش اسپکتروفوتومتری و با استفاده از دستگاه UV-Vis مدل CE2021 ساخت شرکت CECIL انجام شد.



شکل ۱: ساختار شیمیایی رنگزای کاتیونی بازیک زرد (BY28).

### ۱- مقدمه

استفاده از مواد رنگزای مصنوعی در بسیاری از صنایع از جمله نساجی، چرم، پوشرنگ ... منجر به تولید حجم بالایی از پساب های رنگی می شود. بسیاری از این پساب ها سمی و خطرناک هستند و قبل از تخلیه به محیط زیست نیاز به فرآیند تصفیه ویژه ای دارند. روش های مختلفی برای تصفیه پساب های حاوی مواد رنگزای آلی مورد استفاده قرار گرفته است که از آن جمله می توان به فرآیندهای اکسیداسیون شیمیایی (فرآیند فنتون، ازن دهی، پرتوودهی فرابینش ...) [۱-۴] ... به کار گیری فیلتراسیون و غشاء [۵-۶]، استفاده از جاذب ها [۷، ۸] ... اشاره نمود. در بین این روش ها، فناوری های جذب به دلیل امکان برطرف کردن آلاینده های بسیار پایدار که با سایر روش ها قابل حذف نیستند مورد توجه می باشند و چنانچه ماده جاذب ارزان قیمت در دسترس باشد کل فرآیند از لحاظ اقتصادی به صرفه است. رنگبری از پساب با استفاده از جاذب ها تحت تأثیر عوامل متعدد فیزیکی - شیمیایی است که از آن جمله می توان به برهمکنش ماده رنگزا - جاذب، سطح تماس جاذب، اندازه ذرات، دما، pH و زمان تماس اشاره نمود [۹]. پس از جذب آلاینده از فاز آبی بر روی جاذب به دلیل باقیماندن پسماند جامد انجام عملیات جداسازی بعدی راحت تر است [۱۰]. استفاده از جاذب ها در مقایسه با سایر روش های الکتروشیمیایی، بیولوژی و ... به دلیل آنکه می تواند باعث حذف فیزیکی آلاینده های مختلف از پساب شود و منجر به تولید هیچ محصول جانبی خطرناکی در حین فرآیند نیز نمی شود بسیار مورد توجه است [۱۱].

یکی از روش های مرسوم برای حذف آلاینده های مختلف از جمله مواد رنگزای آلی از پساب استفاده ترکیبی از عملیات بیولوژیکی و جذب روی کربن فعال است. اگر چه کربن فعال تجاری برای رنگزایی از پساب ها بازده بسیار خوبی دارد اما استفاده از آن به دلیل قیمت بالا محدودیت دارد. از این رو محققان همواره به دنبال یافتن مواد جاذب ارزان تر برای جایگزینی کربن فعال هستند. بسیاری از مواد طبیعی (معدنی و آلی)، پسماندهای صنعتی کارخانجات و محصولات کشاورزی و جاذب های زیستی برای این منظور مورد مطالعه قرار گرفته اند. فهرستی از انواع جاذب های به کار گرفته شده برای رنگزایی از پساب ها به همراه مزایا و محدودیت های آنها در مقالات مروری مختلف مورد بررسی قرار گرفته اند [۱۲-۱۴].

کائولن یکی از متداول ترین ترکیبات معدنی سیلیکاتی با ترکیب شیمیایی  $\text{Al}_2\text{Si}_2\text{O}_5(\text{OH})_4$  است. این ماده، ترکیب معدنی سیلیکاتی لایه ای با یک ورقه چهاروجهی است که از طریق اتم های اکسیژن به یک ورقه هشت وجهی متصل شده است. لایه های متوالی از طریق پیوندهای هیدروژنی بین لایه های سیلیکا و آلومینا نگه داشته شده اند. ورقه چهاروجهی یک بار منفی دائمی را به دلیل جایگزینی هم شکل  $\text{Al}^{3+}$  با  $\text{Si}^{4+}$  و برجای گذاشتن یک بار منفی برای هر جایگزینی با خود

$$q_t = \frac{(C_0 - C_t) \cdot V}{M} \quad (1)$$

$$R = \frac{(C_0 - C_t)}{C_0} \times 100 \quad (2)$$

### ۳- نتایج و بحث

#### ۱- خصوصیات ماده جاذب

خواص فیزیکی - شیمیایی جاذب کائولن در جدول ۱ و مشخصات شیمیایی آن در جدول ۲ ارائه شده است. توزیع اندازه ذرات جاذب کائولن (شکل ۲) نشان می‌دهد که اندازه ذرات کائولن در محدوده ۰,۲۴-۰,۹۱ میکرومتر می‌باشد. بیش از ۹۰٪ ذرات قطری کمتر از ۰,۵۵۷ میکرومتر دارند. توزیع اندازه ذرات کائولن نیز همان‌طور که در شکل ۲ ملاحظه می‌شود در حدود ۰,۳-۰,۳۰ میکرومتر است. الگوی پراش اشعه X نمونه کائولن در شکل ۳ نشان داده شده است. شکل ۳ نشان می‌دهد که کائولن مورد استفاده دارای فازهای بلوری کائولینیت، کوارتز، کلسیت و موسکوپیت می‌باشد. شکل ۴ تصویر میکروسکوپ الکترونی پویشی از نمونه پودر جاذب می‌باشد که وجود ذرات با ساختار ورقه‌ای در آن به خوبی دیده می‌شود. همان‌طور که شکل ۵ ملاحظه می‌شود نقطه ایزوالکتریک جاذب کائولن در حدود pH=۷,۰ می‌باشد و حضور ماده جاذب باعث می‌شود pH نهایی محلول بعد از گذشت زمان در محدوده pH نقطه ایزوالکتریک تنظیم شود.

جدول ۱: خصوصیات فیزیکی و شیمیایی کائولن.

مقدار	خاصیت
۱,۳۷۱ μm	d (اندازه ۱۰٪ ذرات کوچکتر از)
۳,۸۶۲ μm	d (اندازه ۵۰٪ ذرات کوچکتر از)
۹,۵۵۷ μm	d (اندازه ۹۰٪ ذرات کوچکتر از)
ندارد	حالیت در آب
۷,۰	pH نقطه ایزوالکتریک
۲,۲۲M <sup>۳</sup> /g	مساحت سطحی مخصوص

از دستگاه آنالایزر لیزری Malvern, Mastersizer 2000 برای تعیین توزیع اندازه ذرات جاذب کائولن استفاده شد. تحلیل ساختاری کائولن به وسیله دستگاه اندازه گیری پراش اشعه X مدل Philips PW1800 انجام گرفت. برای خشک کردن نمونه‌ها در ۱۰۰°C از دستگاه آون آزمایشگاهی مدل memmert و از کوره مدل FL11 شرکت آذر کوره برای حرارت دادن به جاذب در دماهای بالا استفاده شد.

نمونه‌برداری از محلول‌های حاوی ماده رنگزای BY28 پس از افزودن جاذب در زمان‌های مختلف انجام گرفت. در تمامی آزمایش‌ها از حداقل دور همزن مکانیکی (۲۰۰ rpm) برای اختلاط جاذب داخل محلول‌های رنگی استفاده شد.

تأثیر عوامل مختلف شامل غلظت رنگر، حجم پساب، pH و حضور انواع الکترولیت (کربنات، بیکربنات و سولفات سدیم) بر فرآیند رنگبری از پساب مورد مطالعه قرار گرفت. پساب حاوی رنگزا در آب مقطر تهیه شد که pH طبیعی آن ۶,۵ بود. برای تنظیم pH اسیدی و یا قلیایی از اسید سولفوریک و هیدروکسید سدیم استفاده شد.

برای تعیین pH نقطه ایزوالکتریک نمونه کائولن، محلول ۰,۲ g کائولن در ۴۰ میلی‌لیتر نیترات سدیم (۰,۱ M) در مقادیر pH اولیه مختلف (۲,۳,۴,۵,۶,۷,۸,۹,۱۰,۱۱) تهیه شد و برای مدت ۲۴ ساعت در دمای محیط همزده شد و سپس pH نهایی محلول‌ها اندازه‌گیری گردید [۱۷].

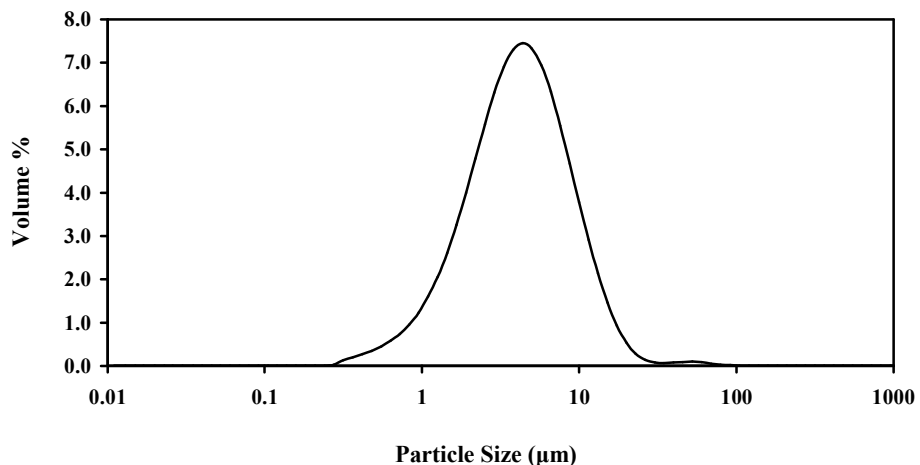
برای بازیافت کائولن بعد از فرآیند جذب، ابتدا جاذب به وسیله صاف کردن از محلول جدا شده و بعد از خشک شدن مجدداً به صورت پودری درآمده و داخل آون می‌شود. جاذب به مدت نیم ساعت در ۴۰۰ °C در شرایط اتمسفری حرارت داده می‌شود و پس از سرد شدن مجدداً به عنوان جاذب مورد بهره‌برداری قرار می‌گیرد.

برای محاسبه ظرفیت جذب یا مقدار رنگ جذب شده به ازای واحد وزن جاذب از رابطه ۱ و برای محاسبه بازده حذف ماده رنگزا از محلول از رابطه ۲ استفاده می‌شود که در اینجا  $C_0$  و  $C_t$  به ترتیب غلظت اولیه و غلظت رنگزا در زمان t از فرآیند جذب بر حسب (mg/l) می‌باشند. V حجم محلول بر حسب لیتر و M جرم جاذب کائولن بر حسب گرم می‌باشد.

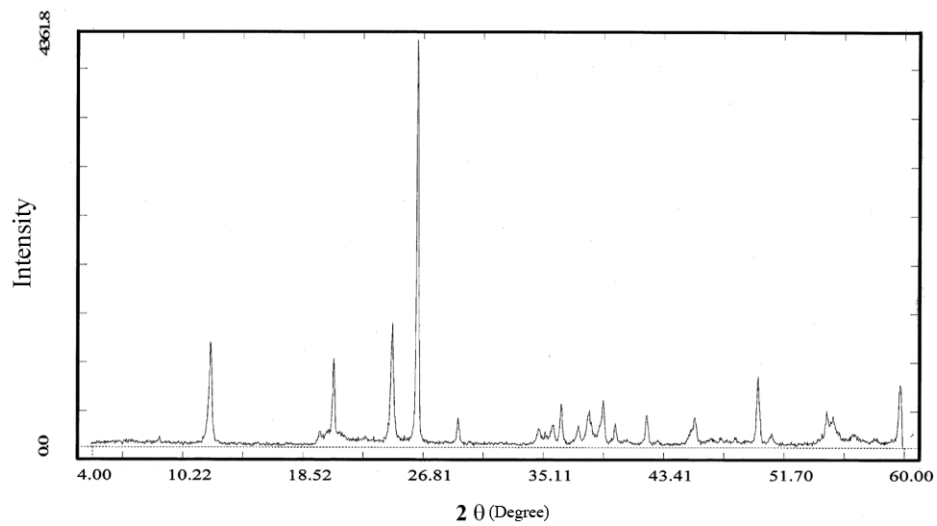
جدول ۲: مشخصات شیمیایی کائولن مصرفی از شرکت صنایع خاک چینی ایران.

L.O.I *	K <sub>2</sub> O	Na <sub>2</sub> O	MgO	CaO	TiO <sub>2</sub>	Fe <sub>2</sub> O <sub>3</sub>	SiO <sub>2</sub>	Al <sub>2</sub> O <sub>3</sub>	ماده
۹,۱	۰,۴	۰,۰۱	۰,۰۶	۱,۸۲	۰,۰۲۷	۰,۶۳	۶۳,۳۶	۲۴,۱۷	درصد وزنی

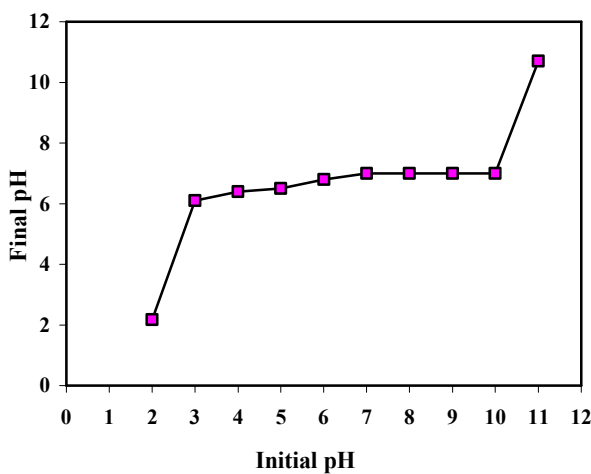
\* کاهش وزن در اثر احتراق



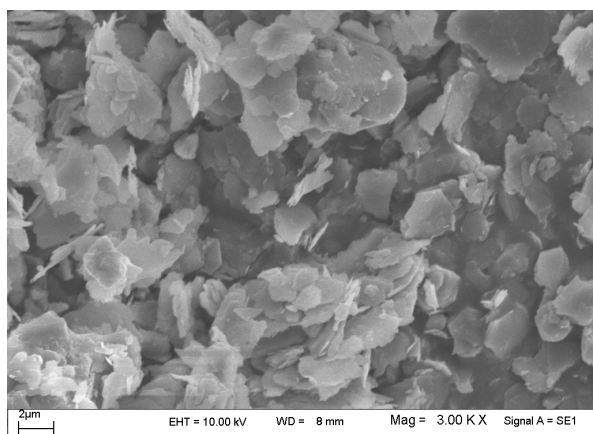
شکل ۲: توزیع اندازه ذرات نمونه کائولن.



شکل ۳: الگوی پراش اشعه X کائولن.



شکل ۵: نقطه ایزوالکتریک جاذب کائولن.



شکل ۴: تصویر میکروسکوپ الکترونی پویشی جاذب کائولن.

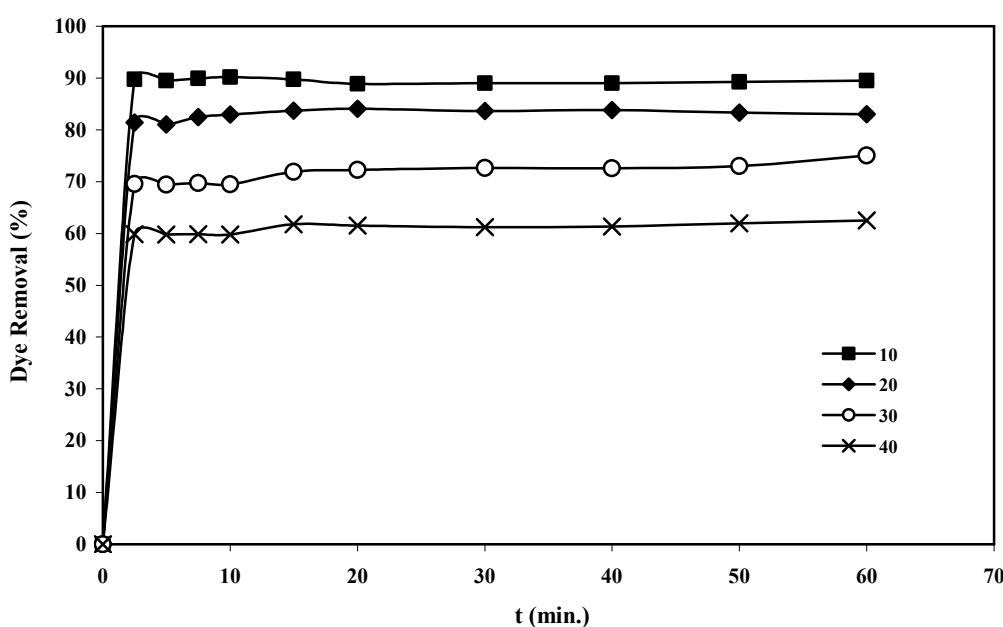
اولیه مختلف ماده رنگزای تقریباً یکسان است و تنها میزان بازده نهایی حذف رنگزای با یکدیگر متفاوت می‌باشد.

### ۳-۲-۳- اثر مقدار ماده جاذب

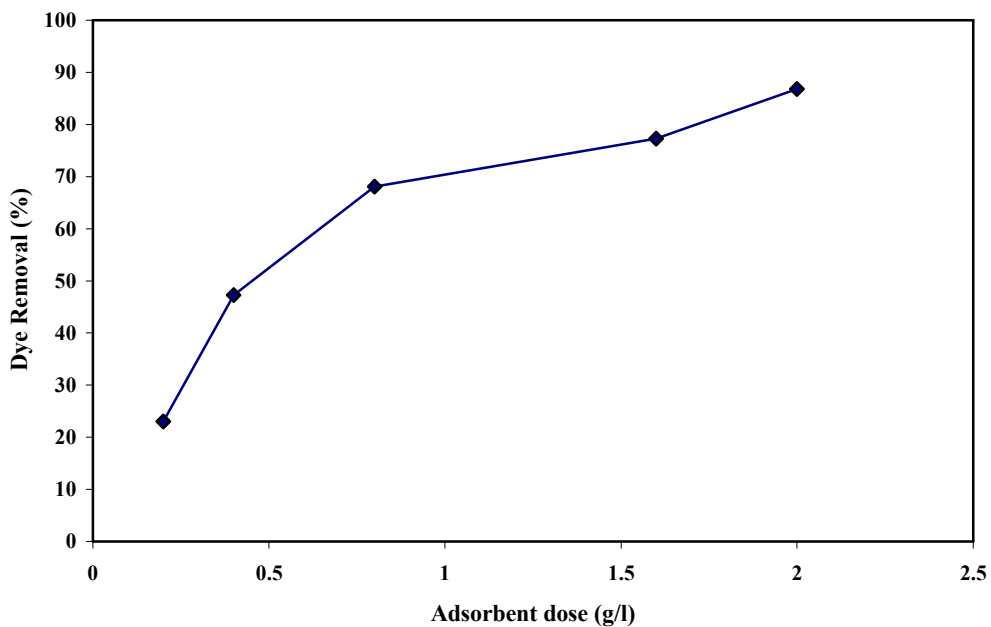
تأثیر مقدار جاذب بر بازده حذف ماده رنگزای BY28 بعد از گذشت یک ساعت در شکل ۷ آورده شده است. در این آزمایش‌ها غلظت اولیه ماده رنگزای  $10 \text{ mg/l}$ ، حجم محلول اولیه  $250 \text{ ml}$  و دور همزمان  $200 \text{ rpm}$  ثابت نگه داشته شدند. همان‌طور که از شکل ۶ ملاحظه می‌شود فرآیند جذب رنگزای توسط کائولن بسیار سریع بوده و در زمان بسیار کوتاه (کمتر از ۵ دقیقه) انجام می‌شود. نمونه‌برداری از پساب تا زمان  $60 \text{ min}$  دقیقه که تقریباً تعادل کامل اتفاق افتاده است ادامه یافته است. تغییرات قابل توجهی بعد از زمان  $60 \text{ min}$  دقیقه در فرآیند حذف رنگزای به وجود نمی‌آید. برای غلظت‌های مختلف ماده رنگزای در محلول  $10$ ،  $20$ ،  $30$  و  $40 \text{ mg/l}$  بر لیتر مقدار بازده حذف ماده رنگزای از پساب به ترتیب  $83$ ،  $90$ ،  $83$  و  $73\%$  بوده است. بدین‌جهت که برای غلظت‌های پایین‌تر از ماده رنگزای در پساب، فرآیند جذب سریع‌تر و بازده حذف رنگزای بالاتر است. با افزایش غلظت اولیه ماده رنگزای در پساب، رقابت برای جذب بر روی مکان‌های جذب کائولن بیشتر شده و فرآیند جذب آهسته‌تر اتفاق می‌افتد که این مسئله می‌تواند توجیهی برای تفاوت اندک در زمان به تعادل رسیدن فرآیند حذف ماده رنگزای در غلظت اولیه  $30$  و  $40 \text{ mg/l}$  نسبت به غلظت‌های اولیه پایین‌تر باشد. در هر حال با توجه به جذب بسیار سریع ماده رنگزای کاتیونی بر روی کائولن زمان رسیدن به تعادل برای غلظت‌های

### ۲-۳- تأثیر مدت زمان و غلظت اولیه ماده رنگزای

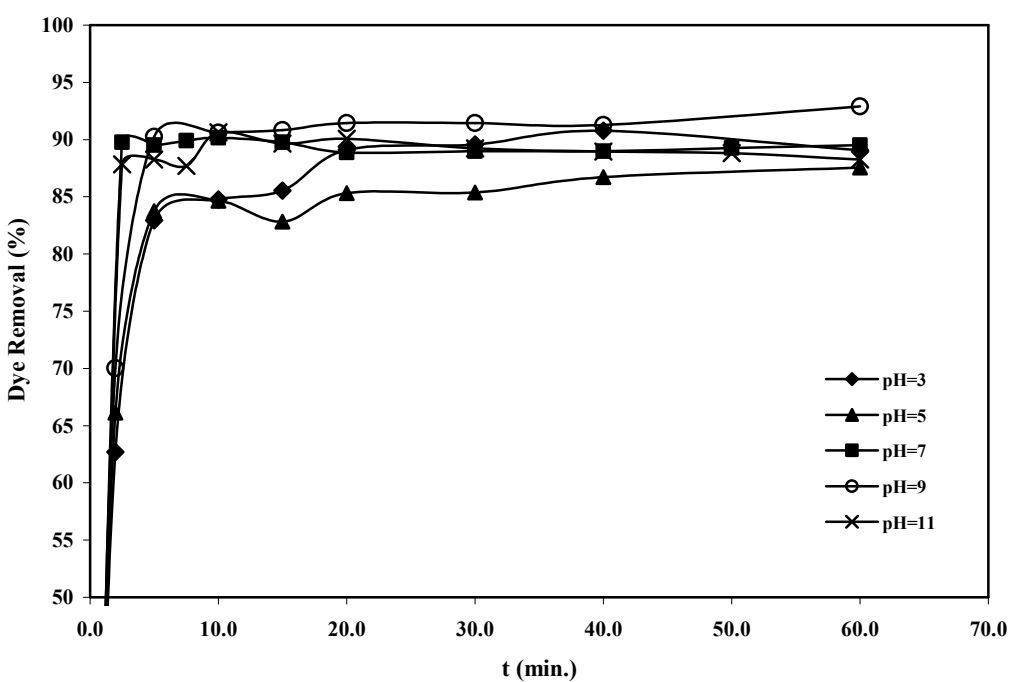
تغییرات درصد حذف ماده رنگزای BY28 از محلول بر حسب زمان فرآیند برای غلظت‌های مختلف از ماده رنگزای مورد بررسی قرار گرفت. در این آزمایش‌ها مقدار جاذب  $2 \text{ g/l}$ ، حجم محلول اولیه  $250 \text{ ml}$  و دور همزمان  $200 \text{ rpm}$  ثابت نگه داشته شدند. همان‌طور که از شکل ۶ ملاحظه می‌شود فرآیند جذب رنگزای توسط کائولن بسیار سریع بوده و در زمان بسیار کوتاه (کمتر از ۵ دقیقه) انجام می‌شود. نمونه‌برداری از پساب تا زمان  $60 \text{ min}$  دقیقه که تقریباً تعادل کامل اتفاق افتاده است ادامه یافته است. تغییرات قابل توجهی بعد از زمان  $60 \text{ min}$  دقیقه در فرآیند حذف رنگزای به وجود نمی‌آید. برای غلظت‌های مختلف ماده رنگزای در محلول  $10$ ،  $20$ ،  $30$  و  $40 \text{ mg/l}$  بر لیتر مقدار بازده حذف ماده رنگزای از پساب به ترتیب  $83$ ،  $90$ ،  $83$  و  $73\%$  بوده است. بدین‌جهت که برای غلظت‌های پایین‌تر از ماده رنگزای در پساب، فرآیند جذب سریع‌تر و بازده حذف رنگزای بالاتر است. با افزایش غلظت اولیه ماده رنگزای در پساب، رقابت برای جذب بر روی مکان‌های جذب کائولن بیشتر شده و فرآیند جذب آهسته‌تر اتفاق می‌افتد که این مسئله می‌تواند توجیهی برای تفاوت اندک در زمان به تعادل رسیدن فرآیند حذف ماده رنگزای در غلظت اولیه  $30$  و  $40 \text{ mg/l}$  نسبت به غلظت‌های اولیه پایین‌تر باشد. در هر حال با توجه به جذب بسیار سریع ماده رنگزای کاتیونی بر روی کائولن زمان رسیدن به تعادل برای غلظت‌های



شکل ۶: بازده حذف رنگزای BY28 توسط کائولن در دمای محیط، pH طبیعی، حجم  $250 \text{ ml}$  و غلظت جاذب  $2 \text{ g/l}$  در غلظت‌های اولیه ماده رنگزای بر حسب  $(\text{mg/l})$ .



شکل ۷: تغییرات بازده حذف رنگزا BY28 با افزایش مقدار جاذب در دمای محیط، pH طبیعی، حجم ۲۵۰ ml.



شکل ۸: تأثیر pH اولیه بر حذف ماده رنگزا BY28 در دمای محیط، حجم ۲۵۰ ml و غلظت جاذب ۲ g/l.

نماید. تأثیر pH اولیه (۳.۵، ۷.۹، ۱۱) بر فرآیند حذف رنگزا BY28 در شکل ۸ ملاحظه می‌شود. در این آزمایش‌ها مقدار جاذب ۲ g/l، حجم محلول اولیه ۲۵۰ ml و دور همزدن ۲۰۰ rpm ثابت نگه داشته شدند. همان‌طور که در این شکل دیده می‌شود، تغییرات pH اولیه تأثیر

#### pH -۴-۳- اثر

pH محلول می‌تواند باعث تغییر بار سطحی جاذب، درجه یونیزاسیون ماده جذب شونده و یونیزاسیون گروه‌های فعال جاذب شود. از این رو تغییرات pH می‌توانند نقش مهمی در فرآیند حذف ماده رنگزا ایفا

حذف ماده رنگزا تقریباً ثابت مانده است اما بازده نهایی حذف ماده رنگزا BY28 اندکی کاهش نشان می‌دهد. این امر می‌تواند به واسطه خنثی شدن بار سطحی جاذب و غیر فعال شدن تعدادی از مکان‌های جذب کائولن به واسطه حضور الکتروولیت باشد. در هر حال در حضور الکتروولیت‌های مختلف و در غلظت‌های متفاوت، بازده حذف رنگزا 28 بالاتر از ۸۳٪ حاصل شده است که از نقطه نظر امکان‌سننجی استفاده از این جاذب معدنی در مقیاس بالاتر و برای حذف رنگزا از نمونه‌های واقعی پساب بسیار امیدوار کننده است.

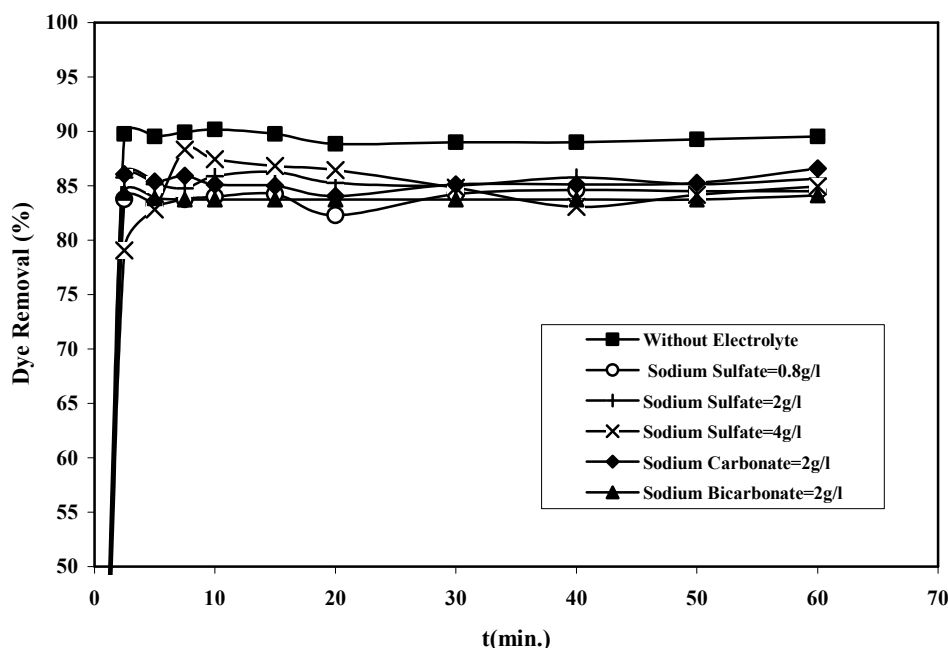
### ۳-۶- تأثیر حجم پساب

تأثیر حجم پساب در سه حجم ۲۵۰، ۵۰۰ و ۱۰۰۰ میلی‌لیتر مورد بررسی قرار گرفت. شرایط آزمایش (غلظت اولیه رنگزا ۱۰ mg/l، دمای محیط، pH طبیعی، حجم ۲۵۰ ml و غلظت جاذب ۲g/l) در تمامی حالات ثابت نگه داشته شد. نتایج به منظور اختصار و کوتاه شدن مقاله نشان داده نشده است. اما در هر حال ملاحظه شد که حجم پساب تأثیر قابل ملاحظه‌ای را بر بازده حذف رنگزا ایجاد نکرده است. بنابراین می‌توان انتظار داشت که نتایج به دست آمده در حجم ۲۵۰ ml در حجم‌های بالاتر قابل تعمیم باشد که از لحاظ امکان‌سننجی استفاده از جاذب در حجم‌های بالاتر پساب حائز اهمیت است و نیاز به کار تحقیقاتی بیشتر دارد.

زیادی بر فرآیند حذف ماده رنگزا نمی‌گذارد. اما در هر حال به نظر می‌رسد در مقادیر pH های اسیدی بازده رنگبری اندکی پایین‌تر از شرایط pH خنثی و قلیایی است. این امر را می‌توان به وجود ناخالصی‌های موجود در ماده معدنی که در محیط آبی جذب بارهای سطحی می‌شود نسبت داد. در این شرایط به دلیل پدیده حفاظت کلوئیدی، تغییرات pH تأثیر قابل ملاحظه‌ای بر بار سطحی ندارد.

### ۳-۵- تأثیر افزایش الکتروولیت

افزایش الکتروولیت می‌تواند باعث خنثی شدن بار سطحی جاذب و نیز رقابت با ماده جذب شونده برای تصالح مکان‌های فعال جاذب گردد. از این رو بررسی حضور الکتروولیت هم از لحاظ علمی و هم از نظر تجربی بسیار حائز اهمیت است. پساب‌های صنعتی معمولاً حاوی مقادیر قابل توجهی از انواع الکتروولیت‌ها می‌باشند و لذا بررسی تأثیر حضور الکتروولیت‌ها بر حذف ماده رنگزا از جنبه امکان‌سننجی استفاده از این جاذب در شرایط واقعی نیز مورد توجه می‌باشد. افزایش مقادیر نسبتاً بالا از الکتروولیت‌های سولفات، کربنات و بیکربنات سدیم به محلول و تأثیر آن بر بازده حذف ماده رنگزا BY28 در شکل ۹ مشاهده می‌شود. شرایط آزمایش (غلظت اولیه رنگزا ۱۰ mg/l، دمای محیط، حجم ۲۵۰ ml و غلظت جاذب ۲g/l) در تمامی حالتها ثابت بوده است. صرف نظر از نوع و غلظت الکتروولیت افروده شده، سرعت اولیه



شکل ۹: تأثیر افزایش الکتروولیت بر بازده حذف BY28 (۱۰ mg/l) در دمای محیط، حجم ۲۵۰ ml و غلظت جاذب ۲g/l.

$$q_e = \frac{Q_0 K_L C_e}{1 + K_L C_e} \quad (3)$$

$$\frac{1}{q_e} = \frac{1}{K_L Q_0 C_e} + \frac{1}{Q_0} \quad (4)$$

در ایزوترم فروندلیش، یک سطح ناهمگن با توزیع نایکنواختی از گرمای جذب در روی سطح فرآیند جذب را انجام می‌دهد. در معادله فروندلیش (رابطه ۵) و فرم خطی آن (رابطه ۶)،  $K_F$  ظرفیت جذب در غلظت واحد و  $n$  شدت جذب سطحی می‌باشد [۲۲].

$$q_e = K_F C_e^n \quad (5)$$

$$\log q_e = \log K_F + n \cdot \log C_e \quad (6)$$

ضرایب ایزوترم‌های لانگمیور و فروندلیش و ضریب همبستگی برای جذب ماده رنگزا بر روی کائولن در جدول ۴ ارائه شده است. نتایج نشان می‌دهند که فرآیند جذب تطابق بهتری با ایزوترم جذب لانگمیور نشان می‌دهد. تطبیق مقادیر  $q_e$  محاسباتی ایزوترم‌های لانگمیور و فروندلیش با مقادیر تجربی در شکل ۱۰ آورده شده است. با توجه به تطابق بهتر نتایج ایزوترم لانگمیور می‌توان فرض کرد که جاذب کائولن دارای تعداد مشخصی مکان‌های جذبی است که به طور همگن در کل ماده جاذب پخش شده‌اند.

### ۳-۹- سینتیک جذب

سینتیک جذب برای تعیین مکانیسم کنترل فرآیندهای جذب سطحی مانند جذب در سطح، واکنش شیمیایی و یا مکانیسم‌های نفوذ استفاده می‌گردد. در مدل شبه مرتبه اول فرض بر این است که سرعت تغییرات برداشت جسم حل شده با زمان بطور مستقیم متناسب با تغییرات در غلظت اشباع و مقدار برداشت جاذب با زمان می‌باشد. فرم خطی سینتیک مرتبه اول به صورت زیرنشان داده می‌شود (رابطه ۷):

$$\log(q_e - q_t) = \log(q_e) - \frac{k_1}{2.303} t \quad (7)$$

جدول ۴: ضرایب ایزوترم خطی لانگمیور و فروندلیش در حذف رنگزا BY28 با استفاده از کائولن.

ضرایب معادله لانگمیور			
Dye	$Q_0$ (mg/g)	$K_L$ (L/mg)	$R^2$
BY28	۱۶,۲۳۳۷	۰,۹۱۶۶	۰,۹۹۵۸
ضرایب معادله فروندلیش			
Dye	$K_F$ mg/g(L/g) <sup>1/n</sup>	n	$R^2$
BY28	۶,۹۸۵۵	۰,۳۲۶	۰,۹۴۹۷

### ۳-۷- بررسی امکان بازیافت و استفاده مجدد از جاذب کائولن

فرآیند بازیافت جاذب از طریق حرارت دادن در کوره (نیم ساعت در دمای  $400^\circ\text{C}$ ) به منظور حذف ماده رنگزا جذب شده بر روی مکان‌های جذب کائولن انجام گرفت. با توجه به پایداری حرارتی کائولن تا دمای  $450^\circ\text{C}$  هیچ تغییر ساختاری غیر قابل بازگشتی در طی این فرآیند حرارتدهی برای نمونه کائولن رخ نمی‌دهد [۱۹,۲۰]. فرآیند حذف ماده رنگزا BY28 در غلظت ۱,۰ mg/L، دمای محیط، pH طبیعی و غلظت جاذب ۲ g/L انجام گرفت. جاذب توسط صاف کردن از محلول جدا شده و مطابق روش توضیح داده شده در قسمت ۲-۲ بازیافت شد. فرآیند حذف ماده رنگزا بازیافت جاذب دوبار متوالی انجام شد. بازده حذف ماده رنگزا بعد از هر بار بازیافت در جدول ۳ ملاحظه می‌شود. حذف اولیه ماده رنگزا توسط کائولن ۸۸٪ بوده است. این مقدار در بازیافت اول به ۸۵٪ (۳٪ افت بازده) و در بازیافت دوم به ۷۸٪ (۱۰٪ افت بازده) رسیده است.

تفاوت اندک در بازده حذف ماده رنگزا نشان می‌دهد که فرآیند بازیافت می‌تواند درصد بالایی از مکان‌های جذب کائولن را احیا نماید و از این رو می‌توان از این جاذب معدنی به تکرار و به دفعات برای حذف ماده رنگزا استفاده کرد که یک ویژگی بسیار خوب و برجسته این جاذب می‌باشد که با توجه به قیمت بسیار ارزان آن می‌تواند با جاذب مرسوم کربن فعال رقابت کند. مطالعه بر روی اصلاح نحوه بازیافت کائولن برای حصول بازده تکرارپذیر حذف ماده رنگزا همچنان ادامه دارد. لازم به ذکر است که کائولن صاف شده در هر مرحله همنگ با رنگزای جذب شده برای مصارف مختلف در حیطه سرامیک‌های سنتی و تولید بدنه‌های رنگی (غیر سفید) قابل استفاده است.

### ۳-۸- ایزوترم جذب

دو معادله‌ای که کاربرد زیادی برای توصیف ایزوترم‌های جذب در سیستم‌های جامد/مایع دارند معادلات لانگمیور و فروندلیش هستند. در تئوری لانگمیور، جذب در یک سری مکان‌های همگن خاص در داخل جاذب اتفاق می‌افتد. در معادله لانگمیور (رابطه ۳) و فرم خطی آن (رابطه ۴)،  $q_e$  مقدار رنگزای جذب شده روی جاذب کائولن در حالت تعادل،  $C_e$  غلظت تعادلی محلول رنگی،  $K_L$  ثابت تعادل و  $Q_0$  حداکثر ظرفیت جذب است [۱۱,۲۱]:

جدول ۳: بازده حذف ماده رنگزا BY28 در غلظت ۱,۰ mg/L، دمای محیط، pH طبیعی و غلظت جاذب ۲ g/L با استفاده از جاذب بازیافت شده.

بازده حذف ماده رنگزا	٪۷۸	٪۸۵	٪۸۸	بازیافت اولیه	بازیافت اول	جاذب اولیه
بازده حذف ماده رنگزا	٪۷۸	٪۸۵	٪۸۸			

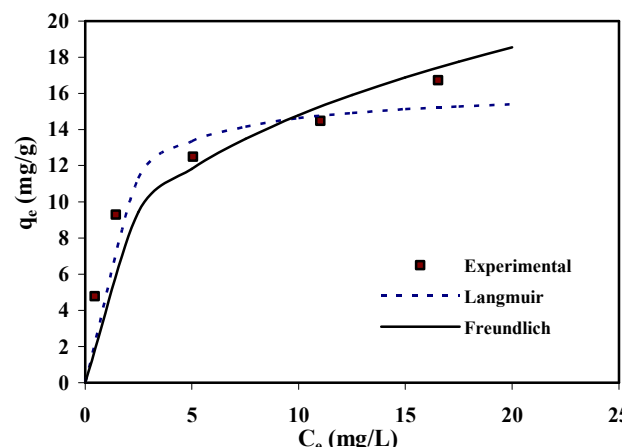
به صورت زیر نوشته می شود:

$$\frac{t}{q_t} = \frac{1}{k_2 q_e^2} + \frac{1}{q_e} t \quad (8)$$

که  $q_e$  مقدار رنگزای جذب شده در حالت تعادل برحسب (mg/g) و  $k_2$  ثابت سرعت تعادلی معادله سینتیک مرتبه دوم برحسب (g/mg min) است. نتایج نشان می دهد که تغییرات  $t/q_t$  برحسب زمان با ضریب همبستگی بالایی برای تمامی غلظت های مورد بررسی خطی است (جدول ۵)، از این رو می توان نتیجه گیری کرد که جذب BY28 بر روی کائولن از مدل سینتیکی شبیه مرتبه دوم پیروی می کند و فرآیند توسط جذب شیمیایی کنترل می شود.

### ۱۰-۳ مقایسه نتایج تحقیق حاضر با سایر مراجع

جدول مقایسه ظرفیت جذب کائولن برای رنگزای BY28 در مقایسه با سایر رنگرها و جاذبها از مراجع دیگر در جدول ۶ گردآوری شده است. در سایر مقالات نیز عنوان شده است که فرآیند جذب رنگزای کاتیونی بر روی جاذب کائولن از ایزووترم جذب لانگمیور و سینتیک شبیه مرتبه دوم پیروی می کند [۱۱، ۱۸، ۲۳]. در بین جاذب های مختلف به کار رفته برای حذف BY28 نیز تنها بنتونیت نتایج بهتری نسبت به کائولن از خود نشان داده است [۲۴، ۲۵]. نکته حائز اهمیت در ارتباط با کائولن این است که این جاذب معدنی در مقایسه با بسیاری جاذب های دیگر سطح مخصوص نسبتاً پایین تری دارد اما ظرفیت جذب بالا در کنار قیمت ارزان این جاذب برای کاربردهای مختلف قبل توجه است.



شکل ۱۰: ایزووترمهای جذب لانگمیور و فرونولیش برای رنگزای BY28 با استفاده از جاذب کائولن.

که  $q_e$  و  $q_t$  به ترتیب مقدار رنگزای جذب شده در حالت تعادل و در زمان  $t$  بر حسب (mg/g) و  $k_1$  ثابت تعادلی سرعت سینتیک مرتبه اول برحسب (1/min) است. با فرض خطی بودن تغییرات  $\log(q_e - q_t)$  بر حسب زمان مقادیر  $q_e$  و  $k_1$  قابل محاسبه هستند. مقادیر به دست آمده در جدول ۵ خلاصه شده اند. ضرایب همبستگی پایین نشان می دهد که جذب ماده رنگزای BY28 بر روی کائولن از مدل سینتیکی شبیه مرتبه اول پیروی نمی کند و بنابراین یک پدیده قابل کنترل به وسیله انتشار نمی باشد. در مدل سینتیکی شبیه مرتبه دوم فرض بر این است که فرآیند جذب قابل کنترل به وسیله جذب شیمیایی است. فرم خطی مدل سینتیک شبیه مرتبه دوم (رابطه ۸) برای جذب BY28 روی کائولن

جدول ۵: ثابت های سرعت و ضرایب همبستگی معادلات شبیه مرتبه اول و دوم در حذف رنگزای BY28 با استفاده از کائولن (۲۵۰ ml محلول، ۲ g/L کائولن، ۲۵°C دما، pH=۶ و سرعت همزن ۲۰۰ rpm به مدت ۱ ساعت).

R <sup>2</sup>	شبیه مرتبه دوم		شبیه مرتبه اول		غلظت ماده رنگزا (mg/L)
	q <sub>e</sub> (mg/g)	k <sub>2</sub> (g/mg min)	R <sup>2</sup>	k <sub>1</sub> (1/min)	
0,999	۲,۰۰۴	۲,۳۲۷	0,۸۸۰	۰,۰۱۶	۵
0,999	۴,۷۳۹	۱,۰۶۰	0,۸۸۴	۰,۰۶۹	۱۰
0,999	۹,۵۲۳	۰,۶۱۲	0,۷۳۷	۰,۰۱۸	۲۰
0,998	۱۱,۴۹۴	۰,۲۲۲	0,۹۷۶	۰,۰۳۴	۳۰
0,997	۱۵,۶۲۵	۰,۱۰۵	0,۸۸۴	۰,۰۵۰	۴۰
0,999	۱۶,۳۹۳	۰,۴۶۵	0,۷۰۹	۰,۰۰۹	۵۰

جدول ۶: مقایسه سینتیک و ظرفیت جذب جاذب‌های مختلف برای حذف رنگزاهای کاتیونی.

مرجع	سینتیک	ظرفیت جذب $q_{max}$ (mg/g)	جاذب	رنگزا
[۲۳]	شبه مرتبه دوم	۴۷,۲۷	کائولن - هندی	Basic Violet 3
[۲۳, ۱۸]	شبه مرتبه دوم	۶۵,۴۲	کائولن - هندی	Basic Green 1
مقاله حاضر	شبه مرتبه دوم	۱۶,۲۳	کائولن - ایرانی	Basic Yellow 28
[۱۶]	شبه مرتبه اول	۵۹,۶	ژئولیت طبیعی	Basic Yellow 28
[۱۶]	شبه مرتبه اول	۸,۷	Amberlite (XAD-4)	Basic Yellow 28
[۲۴]	-	۲۵۶,۴	بنتونیت	Basic Yellow 28
[۲۵]	شبه مرتبه دوم	۱۶,۷۷	فسفات طبیعی	Basic Yellow 28

بر روی کائولن محاسبه شد. نتایج نشان می‌دهد که فرآیند جذب تطابق بهتری با ایزوترم جذب لانگمیور دارد و به نظر می‌رسد از فرضیات و شرایط این ایزوترم پیروی می‌نماید. سینتیک جذب از نوع شبه مرتبه دوم است و بنابراین می‌توان فرآیند جذب BY28 بر روی کائولن را قابل کنترل توسط فرآیند جذب شیمیایی دانست. این جاذب علی‌رغم سطح تماس پایین به دلیل ظرفیت جذب بالا و قیمت ارزان و قابلیت بازیافت می‌تواند در کاربردهای مختلف مورد استفاده قرار گیرد.

#### تشکر و قدردانی

از سرکار خانم دکتر نورمحمدیان از گروه پژوهشی مواد رنگزای آلتی-پژوهشگاه علوم و فناوری رنگ بخاطر اهدای ماده رنگزای BY28 با درجه خلوص آزمایشگاهی تشکر و قدردانی می‌شود.

#### ۴- نتیجه‌گیری

کائولن به عنوان یک ماده معدنی ارزان قیمت جاذبی مؤثر برای حذف ماده رنگزای کاتیونی BY28 از پساب می‌باشد. فرآیند جذب بسیار سریع بوده و بعد از زمان کوتاهی تغییرات تقریباً ثابت می‌شود. افزایش غلظت ماده جاذب و کاهش غلظت ماده رنگزا باعث افزایش بازده رنگبری می‌شوند. تغییرات pH اولیه و حجم محلول‌های مورد بررسی تاثیر اندکی بر بازده حذف رنگزا دارد. بازده نهایی حذف ماده رنگزا BY28 در حضور الکتروولیت‌ها اندکی (۴-۵٪) کاهش نشان می‌دهد. اگرچه ماده معدنی کائولن بعد از جذب رنگزا را می‌توان برای مصارف مختلف در حیطه سرامیک‌های سنتی و تولید بدنه‌های رنگی مورد استفاده قرار داد اما این ماده قابل بازیافت بوده و با اندکی افت بازده می‌تواند فرآیند حذف ماده رنگزای کاتیونی را مجدداً انجام دهد. ثوابت مربوط به ایزوترم‌های جذب لانگمیور و فرونالیش برای جذب BY28

#### ۵- مراجع

- N. Daneshvar, V. Vatanpour, A. R. Khataee, M. H. Rasoulifard, M. Rastegar, Decolorization of mixture of dyes containing malachite green and orange II by fenton-like reagent. *J. Color Sci. Tech.* 1(2008), 83-89.
- N. M. Mahmoodi, M. Arami, K. Gharanjig, F. Nourmohammadian, Decolorization and mineralization of basic dye using nanophotocatalysis: pilot scale study. *J. Color Sci. Tech.* 1(2007), 1-6.
- A. R. Tehrani-Bagh, N. M. Mahmoodi, M. Arami, Study of the effective parameters on decolorization of C.I. Reactive Black 5 wastewater by ozonation. *J. Color Sci. Tech.* 2(2008), 67-75.
- N. M. Mahmoodi, K. H. Rayat-Tari, S. Borhani, M. Arami, F. Nourmohammadian, Decolorization of colored wastewater containing azo acid dye using photo-fenton process: operational parameters and a comparative study. *J. Color Sci. Tech.* 2(2008), 31-40.
- N. Saffaj, M. Persin, S. Alami-Younssi, A. Albizane, M. Bouhria, H. Loukili, H. Dach, A. Larbot, Removal of salts and dyes by low ZnAl2O4-TiO2 ultrafiltration membrane deposited on support made from raw clay. *Sep. Purif. Technol.* 47(2005), 36-42.
- M. G. Buonomenna, A. Gordano, G. Golemme, E. Drioli, Preparation, characterization and use of PEEKWC nanofiltration membranes for removal of Azur B dye from aqueous media. *React. Funct. Polym.* 69(2009), 259-263.
- M. Hasani-Zonoozi, M. R. Alavimoghaddam, M. Arami, Removal of C.I.Acid Blue 292 using polyaluminum chloride.

- J. Color Sci. Tech.* 2(2008), 87-94.
8. S. Karcher, A. Kormüller, M. Jekel, Screening of commercial sorbents for the removal of reactive dyes. *Dyes Pigments.* 51(2001), 111-125.
  9. K. Ravikumar, K. Pakshirajan, T. Swaminathan, K. Balu, Optimization of batch process parameters using response surface methodology for dye removal by a novel adsorbent. *Chem. Eng. J.* 105(2005), 131-138.
  10. P. Nigam, G. Armour, I. M. Banat, D. Singh, R. Marchant, Physical removal of textile dyes from effluents and solid-state fermentation of dye-adsorbed agricultural residues. *Bioresource Technol.* 72(2000), 219-226.
  11. M. Hamdi-Karaoglu, M. Dogan, M. Alkan, Removal of cationic dyes by kaolinite. *Micropor. Mesopor. Mat.* 122(2009), 20-27.
  12. G. Crini, Non-conventional low-cost adsorbents for dye removal: A review. *Bioresource Technol.* 97(2006), 1061-1085.
  13. E. Forgacs, T. Cserháti, G. Oros, Removal of synthetic dyes from wastewaters: a review. *Environ. Int.* 30(2004), 953-971.
  14. T. Robinson, G. McMullan, R. Marchant, P. Nigam, Remediation of dyes in textile effluent: A critical review on current treatment technologies with a proposed alternative. *Bioresource Technol.* 77(2001), 247-255.
  15. Y.-F. Chen, M.-C. Wang, M.-H. Hon, Phase transformation and growth of mullite in kaolin ceramics. *J. Eur. Ceram. Soc.* 24(2004), 2389-2397.
  16. J. Yener, T. Kopac, G. Dogu, T. Dogu, Adsorption of Basic Yellow 28 from aqueous solutions with clinoptilolite and amberlite. *J. Colloid Interf. Sci.* 294(2006), 255-264.
  17. S. Mustafa, B. Dilara, K. Nargis, A. Naeem, P. Shahida, Surface properties of the mixed oxides of iron and silica. *Colloid Surf. A.* 205(2002), 273-282.
  18. B. K. Nandi, A. Goswami, M. K. Purkait, Adsorption characteristics of brilliant green dye on kaolin. *J. Hazard. Mater.* 161(2009), 387-395.
  19. G. Kakali, T. Perraki, S. Tsivilis, E. Badogiannis, Thermal treatment of kaolin: the effect of mineralogy on the pozzolanic activity. *Appl. Clay Sci.* 20(2001), 73-80.
  20. F. Sahnoune, M. Chegaar, N. Saheb, P. Goeuriot, F. Valdivieso, Differential thermal analysis of mullite formation from Algerian kaolin. *Adv. Appl. Ceram.* 107(2008), 9-13.
  21. W.-T. Tsai, H.-C. Hsu, T.-Y. Su, K.-Y. Lin, C.-M. Lin, Removal of basic dye (methylene blue) from wastewaters utilizing beer brewery waste. *J. Hazard. Mater.* 154(2008), 73-78.
  22. M. Alkan, Ö. Demirbaş, S. Çelikçapa, M. Doğan, Sorption of Acid Red 57 from aqueous solution onto sepiolite. *J. Hazard. Mater.* 116(2004), 135-145.
  23. B. K. Nandi, A. Goswami, M. K. Purkait, Removal of cationic dyes from aqueous solutions by kaolin: Kinetic and equilibrium studies. *Applied Clay Sci.* 42(2009), 583-590.
  24. M. Turabik, Adsorption of basic dyes from single and binary component systems onto bentonite: simultaneous analysis of Basic Red 46 and Basic Yellow 28 by first order derivative spectrophotometric analysis method. *J. Hazard. Mater.* 158(2008), 52-64.
  25. N. Barka, A. Assabbane, A. Nounah, L. Laanab, Y. A. Ichou, Removal of textile dyes from aqueous solutions by natural phosphate as a new adsorbent. *Desalination.* 235(2009), 264-275.